

JOSEPH E. BOWLES

**ANALISIS
DAN
DESAIN
PONDASI**



**EDISI KEEMPAT
JILID II**

ANALISIS DAN DESAIN PONDASI

Jilid 2
Edisi Keempat

Joseph E. Bowles, P.E., S.E.
*Consulting Engineer/Software Consultant
Engineering Computer Software
Peoria, Illinois*



PENERBIT ERLANGGA
Jl. H. Baping Raya No. 100
Ciracas, Jakarta 13740
e-mail: mahameru@rad.net.id
(Anggota IKAPI)

DAFTAR ISI

	Kata Pengantar	v
Bab 11	Tekanan Tanah Lateral	1
11-1	Masalah Tekanan Tanah Lateral	1
11-2	Tekanan Tanah Aktif	2
11-3	Tekanan Tanah Pasif	5
11-4	Teori Tekanan Tanah Coulomb	6
11-5	Tekanan Tanah Rankine	13
11-6	Tekanan Tanah Aktif dan Pasif dengan Menggunakan Teori Plastisitas	19
11-7	Tekanan Tanah pada Dinding, Efek-efek Tegangan Tanah, Daerah Runtuh	22
11-8	Kepercayaan (Reliability) Tekanan Tanah Lateral	25
11-9	Sifat-sifat Tanah dan Tekanan Tanah Lateral	25
11-10	Teori-teori Tekanan Tanah di Dalam Persoalan Dinding Penahan	28
11-11	Pemecahan Secara Grafis dan Komputer untuk Tekanan Tanah Lateral	30
11-12	Tekanan Lateral Menurut Teori Elastisitas	36
11-13	Kasus-kasus Lain Tekanan Lateral	44
11-14	Tekanan-tekanan di Dalam Silo, Elevator Butiran Bunker Batu-bara	47
	Soal-soal	54
Bab 12	Kestabilan Tanah Secara Mekanis dan Dinding Penahan Tanah	58
12-1	Pendahuluan	58
12-2	Dinding Penahan Tanah Bertulang Mekanis	58
12-3	Pemancangan Dinding Tanah Bertulang	65

12-4	Dinding Penahan Beton	71
12-5	Dinding Penahan Konsol	71
12-6	Kestabilan Dinding	74
12-7	Sambungan Dinding	80
12-8	Drainase Dinding	80
12-9	Sifat Tanah untuk Dinding Penahan	82
12-10	Pertimbangan Umum pada Perancangan Dinding Penahan Beton ..	83
12-11	Daya Dukung yang Diizinkan	84
12-12	Penurunan Dinding	84
12-13	Dinding Penahan dengan Tinggi Bervariasi; Tumpuan dan Dinding Sayap-Tumpu	85
12-14	Dinding Penahan Pertebalan-Belakang	87
12-15	Dinding Pondasi atau Ruang Bawah-Tanah; Dinding untuk Kontruksi Perumahan	89
12-16	Contoh Dinding Penahan Berkonsol	89
	Soal-soal	103
Bab 13	Dinding Pancang Turap—Berkonsol dan Berangker	105
13-1	Pendahuluan	105
13-2	Jenis Dinding Pancang Turap	106
13-3	Sifat Tanah untuk Dinding Pancang Turap	110
13-4	Nomor-nomor Stabilitas untuk Dinding Pancang Turap	114
13-5	Garis Keruk Melandai	114
13-6	Analisis Elemen Berhingga pada Dinding Pancang Turap	116
13-7	Contoh Elemen Berhingga	123
13-8	Pemancangan Turap Berkonsol—Metode Klasik	137
13-9	Pemancangan Turap Berangker: Dukungan Tanah-Bebas	145
13-10	Reduksi Momen Rowe yang Diterapkan pada Metode Dukungan Tanah-Bebas	151
13-11	Balok Ganjal—Datar, Batang Angker, dan Dinding Angker	156
13-12	Kestabilan dan Faktor Keamanan Dinding Keseluruhan	164
	Soal-soal	165
Bab 14	Dinding Kukuh, Punggung-Tarik, dan Adonan untuk Penggalian	167
14-1	Penggalian Kontruksi	167
14-2	Tekanan Tanah pada Papan Turap Kukuh atau Bendungan-Elak	171
14-3	Desain Konvensional untuk Dinding Panggalian Kukuh	173
14-4	Perkiraan Kehilangan Tanah di Sekitar Penggalian	181
14-5	Analisis Elemen Berhingga Untuk Penggalian Kukuh	184
14-6	Ketakstabilan yang Disebabkan oleh Naiknya Dasar Galian	191
14-7	Sebab-sebab Lain dari Ketidakstabilan Bendungan-Elak	195
14-8	Pengeluaran Air Kontruksi	196
14-9	Konstruksi Dinding Adonan (Atau-Parit)	200
	Soal-soal	203
Bab 15	Bendungan Elak Berongga	204
15-1	Bendungan Elak Berongga: Jenis dan Kegunaannya	204
15-2	Isi Sel	208
15-3	Stabilitas dan Desain Bendungan Elak Berongga	209

15-4	Pertimbangan Praktis di Dalam Perancangan Bendungan-Elak Berbentuk Sel	221
15-5	Perancangan (Pembuatan) Bendungan-Elak Berbentuk Diagram	223
15-6	Perancangan Bendungan-Elak Berbentuk Lingkaran	227
15-7	Perancangan Bendungan-Elak Berbentuk Daun Semanggi	233
	Soal-soal	234
Bab 16	Tiang Tunggal Kapasitas Statis dan Beban Lateral; Tekuk Tiang-Pancang Kran-Tiang	235
16-1	Pendahuluan	235
16-2	Tiang-Pancang Kayu	238
16-3	Tiang-Pancang Beton	244
16-4	Tiang-Pancang Baja	250
16-5	Korosi Tiang-Pancang Baja	252
16-6	Sifat-sifat Tanah untuk Kapasitas Tiang-Pancang Statik	253
16-7	Kapasitas Tiang-Pancang Statik	254
16-8	Kapasitas Titik Tiang-Pancang Statik Akhir	259
16-9	Kapasitas Tahanan Kulit	266
16-10	Kapasitas Tiang-Pancang Statik-Contoh-contoh	273
16-11	Tiang-Pancang di Dalam Tempat Beku Permanen	279
16-12	Kapasitas Tiang-Pancang Statik dengan Menggunakan Data Pengujian-Beban Perpindahan-Beban	284
16-13	Tiang-Pancang Tarik-Tiang-Pancang yang Menahan Desakan Ke Atas	287
16-14	Tiang-Pancang yang Dibebani Secara Lateral	288
16-15	Tekukan Tiang-Pancang dan Tonggak yang Tertanam Seluruhnya dan Sebagian	298
	Soal-soal	302
Bab 17	Tiang-Pancang Tunggal-Analisis Dinamik, Pengujian Beban	305
17-1	Analisis Dinamik	305
17-2	Pemancangan Tiang-Pancang	305
17-3	Formula Tiang-Pancang Rasional	311
17-4	Formula Dinamik Lain dan Pertimbangan Umum	316
17-5	Kebenaran Rumus Pancang untuk Tiang-Pancang Dinamik	321
17-6	Persamaan Gelombang	323
17-7	Pengujian Beban Tiang-Pancang	130
17-8	Tegangan-tegangan Pancang pada Tiang-Pancang	333
17-9	Komentar Umum Mengenai Pemancangan Tiang-Pancang	336
	Soal-soal	337
Bab 18	Pondasi Tiang-Pancang Kelompok Tiang-Pancang	340
18-1	Pertimbangan Tiang-Pancang Kelompok	340
18-2	Pertimbangan-pertimbangan Tiang-Pancang Kelompok	340
18-3	Efisiensi Tiang-Pancang Kelompok	342
18-4	Tegangan pada Lapisan Dasar	345
18-5	Penurunan Tiang-Pancang Kelompok	354
18-6	Sungkup Tiang-Pancang	359
18-7	Tiang-Pancang Miring	361

18-8	Gesekan Kulit Negatif	362
18-9	Analisis Matriks untuk Tiang-Pancang Kelompok	367
18-10	Desain Sungkup Tiang-Pancang oleh Komputer	376
	Soal-soal	380
Bab 19	Pilar yang Dibor atau Kaison	382
19-1	Pendahuluan	382
19-2	Metode Kontruksi Mutakhir	382
19-3	Pemakaian Pilar yang Dibor	389
19-4	Pertimbangan yang Berguna untuk Pilar yang Dibor	390
19-5	Analisis dan Desain Pilar yang Dibor	392
19-6	Penurunan pada Pilar yang Dibor	398
19-7	Desain Struktur Pilar yang Dibor	398
19-8	Contoh Desain Pilar yang Dibor	399
19-9	Analisis Pilar yang Dibor dengan Beban Lateral	404
	Soal-soal	409
Bab 20	Desain Pondasi untuk Kaison Getaran	411
20-1	Pendahuluan	411
20-2	Elemen Teori Getaran	412
20-3	Kasus Umum Dasar Pondasi Bergetar	416
20-4	Kontakta Pegas Tanah dan Redaman	419
20-5	Sifat-sifat Tanah untuk Desain Dasar Pondasi Dinamis	427
20-6	Gaya-gaya Mesin Tak Seimbang	430
20-7	Contoh Dasar Pondasi Dinamis	434
20-8	Getaran Berpasangan	439
20-9	Efek-efek Pembenaman Terhadap Respons Dasar Pondasi Dinamis	442
20-10	Pertimbangan Umum Dalam Mendesain Dasar Pondasi Dinamis	445
20-11	Tiang-Pancang Pendukung Pondasi Dinamis	
20-8	Getaran Berpasangan	439
20-9	Efek-efek Pembenaman Terhadap Respons Dasar Pondasi Dinamis	442
20-10	Pertimbangan Umum Dalam Mendesain Dasar Pondasi Dinamis	445
20-11	Tiang-Pancang Pendukung Pondasi Dinamis	446
	Soal-soal	452
Apendiks		
A	Data Tiang-Pancang Umum dan Tabel Palu Tiang-Pancang	453
A-1	Dimensi Tiang-Pancang H dan Sifat-sifat Penampang	453
A-2	Palu Dorong Tiang-Pancang Khas dari Berbagai Sumber	455
A-3	Bagian Dinding Papan Turap Baja yang Dihasilkan di Amerika Serikat	458
A-4	Bagian-bagian Tiang-Pancang Baja yang Biasa Digunakan untuk Tiang-Pancang dan Cangkang Kaison	459
A-5	Bagian-bagian Tiang-Pancang Prategang Khusus	460
B	Komputer Penyeleksi Program-program untuk Memudahkan pemakaian	461

KATA PENGANTAR

Edisi keempat ini melanjutkan susunan bentuk dari edisi-edisi terdahulu untuk menyediakan keadaan-keadaan (SOA = *state-of-art*) dan praktek-praktek (SOP = *state-of-practice*) paling mutakhir yang berlaku dalam Rekayasa Pondasi. Berdasarkan interaksi antara penulis dan para pelaksana, saya berkesimpulan bahwa SOP rata-rata pada umumnya cenderung ketinggalan sekitar 10 tahun dari SOA. Namun demikian, terdapat suatu rentang dimana ada beberapa organisasi besar yang berada pada baris terdepan teknologi dan banyak perusahaan – khususnya yang lebih kecil – yang berada pada tingkatan menengah yang berlain-lainan.

Buku ajar ini yang juga secara luas dipakai sebagai sumber acuan oleh para pelaksana, mencakup bahan-bahan SOP tetapi dengan tekanan utama mengenai SOA yang sudah tercapai dengan memasukkan suatu campuran antara praktek, "cara bagaimana" dan teknologi paling mutakhir. Hal ini menghasilkan naskah yang cocok dengan tujuan-tujuan umum dari ASEE (Association of Engineers) dan organisasi-organisasi profesional lain yang memberikan tenggang waktu antara 5 sampai 10 tahun untuk para lulusan keteknikan (Insinyur) sebelum pendaluarsaan menjadi faktor utama.

Metode-metode rancangan cenderung untuk bervariasi di antara berbagai daerah geografis, untuk sebagian karena pengaruh para instruktur dan untuk bagian lain lagi karena hanya ada sedikit "hal yang mutlak dalam rancangan". Sebagai konsekuensi maka perlu untuk memasukkan metode-metode lain yang sudah diterima secara umum tetapi diperlembut dengan rekomendasi-rekomendasi dan saran-saran tentang pemakaiannya. Hal ini menunjukkan akses bagi para pemakai terhadap perbedaan-perbedaan regional maupun memberikan hasil-hasil perancangan yang "dipukulratakan" atau kesempatan untuk memilih cara yang paling sesuai atas dasar kekhasan tapak. Walaupun komentar ini tampaknya seolah terlalu berorientasi kepada praktek, kenyataannya ialah bahwa para mahasiswa harus waspada terhadap konflik, perbedaan dan alternatif ini dalam alam nyata sehingga ia dapat produktif setelah ia lulus.

Buku ini memberi tekanan lebih banyak kepada metode-metode komputer dan metode elemen berhingga (FEM = *finite element method*) yang mencakup metode matriks dibandingkan dengan edisi-edisi terdahulu untuk mencerminkan peralihan yang seda

karena konstruksi ini telah menggantikan beton bertulang (R/C) dan dinding-dinding gaya berat/gravitasi konvensional hampir secara menyeluruh. Kebanyakan bahan tentang dinding pertebalan-belakang/counterfort telah ditiadakan karena jenis dinding ini hanya sangat sedikit yang dibangun dan mengingat biaya pembangunan dinding jenis ini yang mahal, maka program-program komputer adalah lebih sesuai untuk menganalisisnya. Dalam Bab 13 saya telah menyusun ulang analisis dinding bilah-bilah pancang agar mulai menempatkan FEM (dilakukan setelah diskusi yang luas dengan suatu organisasi utama pemerintah yang merupakan perancang/pemakai terbesar dari dinding-dinding bilah pancang) dan untuk memasukkan suatu program komputer spesifik untuk dinding bilah pancang (dan untuk galian batang desak). Bab 19 tentang dinding-dinding pemecah gelombang (piers) yang dibor hampir seluruhnya telah direvisi untuk meniadakan bahan-bahan mengenai konstruksi kaisan (kini jarang dilaksanakan karena melibatkan biaya dan bahaya yang besar) dan untuk menekankan dinding-dinding pemecah gelombang-gelombang yang dibor berikut prosedur-prosedur analisis untuk beban-beban vertikal berdasarkan karya yang luas oleh Reese beserta para mitra-kerjanya di Universitas Texas. Juga diberikan pembahasan yang lebih banyak dan analisis yang khas tentang suatu dinding pemecah gelombang yang dibor dan dibebani secara mendarat/lateral (memakai data pengujian beban aktual untuk pembuktian). Saya telah membuat revisi menyeluruh atas Bab 20 guna meningkatkan kemungkinan pengajaran dan pemahaman atas analisis dan rancangan dasar dinamis serta menambah bagian yang besar tentang pondasi tiang pancang dinamis. Pendekatan baru yang dipakai (bersama dengan suatu program komputer) memberikan dasar-dasar yang hampir setara dengan suatu mata kuliah tentang Pondasi dinamis pada bab ini. Perbaikan-perbaikan dan taju-taju lain mencakup suatu revisi atas Bab 10 guna mencerminkan karya penulis ini tentang penyambungan Pondasi Winkler untuk telapak (mats). Dalam Bab 11 diberikan suatu analisis ulang pada masalah tekanan tanah mendarat dengan memakai Teori Elastisitas bersama-sama dengan pembuangan pemecahan-pemecahan grafis untuk tekanan tanah mendarat dan sebagai gantinya ialah pemakaian cara uji percobaan yang langsung dalam suatu program komputer yang tersedia. Persamaan-penurunan elastis dalam Bab 5 telah dikaji-ulang secara kritis dengan data pendukung untuk mensahkan suatu metode yang agak berbeda dalam pemakaiannya.

Sebagaimana halnya dalam edisi-edisi terdahulu di sini telah dimasukan contoh-contoh dalam jumlah yang sangat banyak. Contoh-contoh yang dipindahkan ke dalam edisi ini secara luas telah dibahas ulang dan/atau ditambahkan contoh-contoh baru dengan langkah-langkah penjelasan yang agak rinci dalam usaha mencapai hasil pemecahannya. Mirip dengan edisi-edisi terdahulu saya telah berupaya untuk memasukkan contoh yang realistik paling tidak dalam batas-batas ruang naskah yang tersedia. Contoh-contoh itu sering dikutip dari karya-karya yang telah diterbitkan sehingga instruktur dapat menyuruh para mahasiswa untuk melakukan penelitian latar belakang guna mendapatkan apresiasi tentang kesukaran-kesukaran yang terkait kepada usaha memakai karya orang lain yang telah diterbitkan dari jurnal-jurnal profesional. Pada tempat di mana contoh itu dikerjakan dengan tangan, biasanya diberikan komentar dan diskusi tentang hasil-hasilnya dan langkah berikut apa yang dapat terjadi dalam proses perancangan. Pada tempat di mana dipakai hasil (output) komputer, selalu diberikan beberapa komentar tentang bagaimana membuat pengecekan keluaran (output) untuk melihat apakah untuk model itu telah dicapai pemecahan yang benar. Hal ini melengkapi diskusi naskah sebelumnya tentang program komputer itu.

Saya ingin menyatakan penghargaan kepada banyak pemakai buku ini baik di Amerika Serikat maupun di negara-negara lain yang telah menuliskan atau membuat komentar atau kritik yang membangun atau sekedar menanyakan keterangan mengenai sesuatu prosedur. Saya juga mengucapkan terima kasih kepada mereka yang ikut serta di dalam penyelidikan pemakai buku Mc Graw-Hill untuk menyediakan masukan (input) untuk perbaikan ini dan

berlangsung dalam pemakaian kalkulator-kalkulator yang dapat diprogram kepada komputer-komputer pribadi (PC = personal computer) dan pemakaian FEM yang semakin luas di dalam praktek. Kebanyakan mahasiswa pada tingkat bahan buku-ajar ini telah menerima sejumlah metodologi FEM tentang kuliah-kuliah statika dan struktur elemen, dan metode-metode matriks sudah lumrah pada kuliah matematika yang perlu pada tingkat universitas. Bagaimana pun, buku ajar ini memberikan cukup teori berlatar belakang FEM sehingga seharusnya pada pemakaiannya secara rata-rata akan mendapat hanya sedikit kesulitan dalam pemakaiannya. Sebagai alat bantu lebih jauh, program-program komputer yang diberikan dalam Lampiran, memakai peristilahan yang sama seperti dalam teori buku-ajar dan diberi KOMENTAR secara berlimpah sehingga logikanya mudah diikuti.

Buku ini hampir secara keseluruhan telah ditulis ulang untuk memasukkan bahan baru yang sesuai dan banyak angka-angka yang dimodifikasi, gambar-gambar baru ditambahkan dan kesemuanya digambar ulang. Bahan-bahan baru itu mencerminkan kepustakaan geoteknik yang sangat banyak yang telah diterbitkan selama 5 tahun yang lalu – sering dengan kesimpulan-kesimpulan yang saling bertentangan – dan membutuhkan penyingkatan dan sintesis yang luas agar dapat ditempatkan dalam bentuk yang bermanfaat dan mudah dipakai.

Buku ini bukan suatu tinjauan kepustakaan, tetapi diperlukan daftar rujukan yang luas untuk melengkapi dan memberikan wewenang kepada bahan yang disajikan maupun untuk memberikan penghargaan profesional kepada mereka yang membantu terhadap kemajuan dalam ilmu pengetahuan dan praktek. Karena keterbatasan ruang, saya terpaksa membatasi pemberian rujukan sampai lebih dari satu dua kali untuk setiap pokok yang dibahas. Akan tetapi, karena rujukan yang disebut itu sendiri mengandung daftar-daftar yang panjang, maka pembaca yang berminta dengan mudah dapat membuat teknik/pembuktian atau pengisian latar belakang dengan hanya sedikit upaya pencarian kepustakaan. Bila pembatasan daftar rujukan itu telah meniadakan suatu urusan yang penting, maka hal itu sangat disesalkan. Juga diharapkan bahwa para penulis muda tidaklah merasa tersinggung oleh praktek pemakaian istilah 'dan kawan-kawan' (at al.) bila terdapat rujukan yang disusun oleh lebih dari dua mitra-penulis.

Untuk meliputi pokok Rekayasa Pondasi secara layak, perlu rentangan luas perihal bahan pokok bahasan sebagaimana yang ditetapkan oleh cakupan naskah seperti tercantum dalam Bab 1. Rentang bahan pokok bahasan itu dalam kesukaran penghitungannya berkisar dari keperluan pemakaian kalkulator bertaraf maju yang dapat diprogram sampai kepada komputer digital. Rentang bahan itu memungkinkan pemakaian buku ini untuk dipakai dalam kurikulum Rekayasa Sipil. Struktural, Arsitektural dan Konstruksi melalui pemilihan yang bijak tentang pokok persoalan dan untuk pemakaian selama paling sedikit dua tahun ajaran.

Ciri-ciri khas pada edisi ini mencakup penekanan lebih besar atas pemakaian komputer dan pemasukan program-program komputer lengkap tambahan pada Lampiran. Dalam edisi-edisi terdahulu, beberapa kebiasaan pembalikan/inversiyang dianggap dapat ditemukan secara umum dalam perpustakaan-perpustakaan pusat komputer telah dihilangkan untuk menghemat ruang naskah; hal-hal itu sekarang dimasukkan. Segala program yang dialihkan dari edisi-edisi terdahulu telah diperbarui menurut versi terakhir dalam keputusan program yang ada pada penulis. Pada tempat-tempat di mana dikerjakan contoh-contoh yang memakai suatu program komputer, berkas-berkas data yang lengkap baik memakai lembar-lembar hasil/output atau berikut program komputernya telah disenaraikan. Guna mengurutkan pokok bahasan secara lebih nalar, maka telah dibuat revisi-revisi besar dalam semua bab. Bab 12 mengenai tembok-tembok penahan telah ditata ulang secara menyeluruh untuk mulai memperkenalkan tanah yang diperkuat/bertulang

termasuk Richard Barksdale, Georgia Institute of Technology; Turgut Demirel, Iowa State University; Robert Easton, Rochester Institute of Technology; Mete Oner, Oklahoma State University; Walter Sherman, Tulane University; Wen L. Wang, California State University, Los Angeles dan Richard Woods, University of Michigan, kepada pemeriksa terakhir naskah ini William Baron dari Clemson University.

Akhirnya saya menghargai kontribusi yang cukup banyak dari isteri saya Faye, yang telah membantu seperti biasanya dengan pengetikan dan banyak pekerjaan lain untuk menghasilkan naskah ini.

Joseph E. Bowles

Untuk Dosen:

Di bawah ini penulis menganjurkan mata kuliah pendekatan atau menggunakan buku teks ini untuk mata kuliah, lebih dari 3 kredit.

Kuliah Pertama diikuti melalui pilihan			Mata kuliah		2 Mata kuliah secara berurutan	
Bab:	Kuliah Periode	Bab	Periode	Bab :	Periode	
1, 2	6	2-3	6	1-2	6	
3, 4, 5	1-2 masing-masing	4, 5	6	3	3	
6, 7	1-2 gabungan	8	2 topik-topik khusus	4, 5	6	
8	lewatkan kecuali tidak mencakup pondasi telapak kaki dalam R/C	9	3	6, 7	3	
9	2	10	6 pengkorelasi, topik-topik khusus	8	3	
10	1-2	11	3	9	5	
11	2	12, 13	6	10	6	
11	2	12, 13	5	20	selesai	
12	pada tanah bertulang lewatkan diam kecuali R/C tidak men- cakup dinding	Mata kuliah pilihan				Mata kuliah wajib
13-15	1-2 masing-masing	12-15	12	12	3	
16-17	2-3 untuk keduanya	16, 17	9	13	5	
18-20	untuk setiap bab	18, 19	15	14	4	
R/C = mata kuliah beton bertulang juga harus diikuti oleh mahasiswa						
				15	3	
				16, 17	6	
				18	6	
				19	selesai	

Pendekatan di atas dan tergantung pada panjangnya semester dan pandangan dosen untuk topik-topik tertentu. Dengan penggunaan program komputer yang bebas (dalam Lampiran dan anjuran-anjuran yang lain yang digunakan dalam bab-bab tertentu) petunjuk dapat digunakan lebih efisien dan dengan mahasiswa lebih mampu menggunakan sejumlah telahtelaah pada metrik pada saat melakukan pemeriksaan hasil yang dikehendaki untuk setiap tingkatan. Tidak ada hasil yang seharusnya diterima kecuali kalau mahasiswa-mahasiswa menempatkannya pada sketsa dengan rapi menunjukkan data masalah kritis dan yang mana nilai-nilai hasil telah diperiksa. Satu-satunya yang perlu lebih diperiksa dari pada pe-nyajian akhir horisontal dan vertikal secara rutin dilakukan dengan program seperti suatu pemeriksaan sendiri internal. Mahasiswa harus menunjukkan gaya-gaya pada suatu simpul dan suatu keseimbangan, atau suatu perhitungan dari tanah, dan seterusnya., sebagai bagian dari hasil verifikasi. Juga memeriksa seperti penghitungan reaksi simpul dan tekanan tanah merupakan contoh-contoh yang berguna untuk memberikan pemakai program suatu pemahaman dari program apa yang sedang dilakukan.

DAFTAR SIMBOL-SIMBOL PRIMER YANG DIPAKAI DALAM TEKS

Bagaimana pun, daftar ini tak lengkap. Simbol-simbol ini biasanya diidentifikasi menurut pemakaian bila pemakaiannya berbeda dari yang diberikan berikut. Tidak semua tulisan di bawah garis (subscripts) yang diperlihatkan.

- A = luas atau dipakai sebagai koefisien, dapat ditempatkan pada garis bawah
- B = ukuran alas lateral terkecil (ada kalanya dinyatakan sebagai $2B$)
- B' = $B/2$ bila ukuran alas = B
- C_c = indeks kompresi (Bab 2 dan 5)
- C'_e = rasio kompresi (Bab 2)
- C_r = indeks kompresi – ulang (Bab 2 dan 5)
- C_α = indeks kompresi sekunder
- c = kohesi tanah
- c_i = konstanta peredaman dipakai dalam Bab 20 ($i = x, y, z$, dan θ_i)
- c_v = koefisien konsolidasi (Bab 2)
- D = kedalaman alas telapak atau tiang pancang
- D_c = seluruh ketebalan dari pelat/alas beton
- D_r = kerapatan nisbi
- d = kedalaman efektif dari suatu pelat dasar beton (menurut c.g.s. dari tulangan).
- E_c = modulus elastisitas beton
- E_p = modulus elastisitas bahan tiang pancang (Bab 20)
- E_s = modulus regangan-tegangan atau modulus deformasi tanah (juga modulus elastisitas).
- E_i = lambang koefisien energi dipakai dalam Bab 3 untuk menunjukkan nilai-nilai SPT
- e = rasio kosong (void)
- e_0 = rasio kosong langsung di tempat (in situ)
- F_0, F = gaya-gaya dinamik seperti yang dipakai dalam Bab 20;
- F_0 = nilai dasar ; F = nilai pada ωr
- f'_c = kekuatan kompresi beton pada 28 hari
- f_y = kekuatan luluh pada tulangan baja, tiang pancang baja dan bagian-konstruksi baja lainnya.

- f_a = tegangan baja yang diizinkan
 G' = modulus tegangan-regangan geser (shear) pada tanah atau bahan lainnya yang dihitung dengan memakai Pers. (b) dari Pasal 2-14 atau menurut metode dinamik yang diberikan dalam Bab 20.
 G_s = berat jenis butir tanah yang menyusun suatu massa tanah tertentu (yang diberikan).
 GWT = tinggi muka air tanah. (MAT).
 H = kedalaman pengaruh pada telapak (Bab 5); ketebalan lapisan; juga dipakai untuk ketinggian dinding dalam Bab 11–15, dan untuk tinggi energi (head) hidrolik dalam Bab 2.
 I_i = koefisien pengaruh penurunan dipakai dalam Bab 5.
 I_p = indeks plastisitas = $W_L - W_p$.
 I_{qi} = kelembaman massa untuk modulus putaran dalam Bab 20.
 J_a = koefisien yang ditentukan dalam Bab 20.
 J = momen puntir pada kelembaman.
 K = rasio lateral terhadap tegangan vertikal.
 K_o = rasio tegangan lateral/vertikal langsung di tempat (atau dalam keadaan diam).
 K_a = koefisien tekanan tanah aktif = $\tan^2 (45 + Q/2)$
 K_p = koefisien tekanan tanah pasif = $\tan^2 (45 + Q/2)$
 K_z = pegas tanah vertikal untuk pondasi balok-atas-elastis, alas hamparan dan alas bergetar.
 K_i = pegas tanah dinamik horisontal; $i = x, y$ dan z dipakai dalam Bab 20.
 K_{Qi} = pegas dinamik berputar; $i = x, y$ dan z yang dipakai dalam Bab 20.
 k = koefisien permeabilitas; k_x, k_y = nilai-nilai horisontal dan vertikal.
 k_s = modulus reaksi lapisan bawah (subgrade) baik vertikal atau horisontal.
 k'_s = $k_s B$ yang dipakai sebagai pembebanan balok dalam Bab 9.
 L = panjang alas atau telapak; juga panjang tiang pancang.
 m = eksponen; juga dipakai untuk massa = W/g dalam Bab 20.
 N = hitungan pukulan SPT.
 N_i = hitungan pukulan SPT pada i = efisiensi sebesar 55, 60, 70 persen, dan sebagainya.
 n = porositas, juga dipakai sebagai suatu eksponen.
 OCR = rasio konsolidasi berlebihan
 P_a = gaya dinding yang disebabkan oleh tekanan tanah aktif
 P_p = gaya dinding yang disebabkan oleh tekanan tanah pasif
 P_o = tekanan vertikal langsung di tempat pada suatu kedalaman z .
 P'_o = tekanan vertikal efektif pada suatu kedalaman z .
 P'_c = tekanan pra-konsolidasi efektif pada suatu kedalaman z .
 Q = gaya vertikal (juga V dan terkadang P).
 q = tekanan beban-lebih = γz dipakai bergantian dengan P_o
 \bar{q} = tekanan beban-lebih efektif
 q_o = tekanan kontak telapak (atau alas)
 q_{ult} = tekanan tumpuan dihitung akhir (ultimate)
 q_a = tekanan dukung yang diizinkan
 q_u = kekuatan kompresi yang tak-tertahan
 R = gaya resultan – biasanya terhadap sebuah dinding seperti dalam Bab 11.
 S = derajat kejenuhan (Bab 2)
 S_t = kepekaan lempung (clay) (Bab 2)

- S = kekuatan geser
 s_a = kekuatan geser yang tak-tersalurkan (sering $s_u = q_u/2$).
 T = faktor waktu untuk analisis konsolidasi
 u = tekanan air pori (atau netral).
 w = kandungan air; w_N = alami (langsung di tempat); w_L = batas cairan; w_p = batas plastis
 \bar{y} = lokasi gaya resultan R dalam Bab 11; sifat eksentrisitas suatu massa berputar dalam Bab 20 seperti $F = m_e \bar{y} \omega^2$
 z = kedalaman yang diminati dari permukaan tanah
 α = sudut yang dipakai dalam Bab 4; faktor reduksi kohesi dalam Bab 16.
 β = sudut kemiringan tanah atau urugan; faktor tahanan kulit dalam Bab 16.
 β_d \Rightarrow sebagian dari hasil persamaan diferensial atau koefisien peredaman intern yang dipakai pada Bab 20.
 γ = satuan berat bahan; tulisan bawah garis (subscript) c = beton, kering, basah, jenuh (sat), dan sebagainya.
 γ' = berat satuan efektif yang dihitung sebagai $\gamma' = \gamma - \gamma_w$
 δ = sudut gesekan antara bahan seperti tiang pancang terhadap tanah, dan sebagainya.
 ΔH \Rightarrow penurunan pondasi seperti yang dipakai dalam Bab 5 dan Bab 18.
 Δq = pertambahan tegangan dalam lapisan dari beban telapak atau beban tiang pancang.
 Δu \Rightarrow tekanan air pori berlebihan
 ϵ = regangan = $\Delta q/E_s$ (atau q/E_s).
 η = sudut kemiringan alas dalam Bab 4.
 K_i = pengali untuk pegas dinamik K_i dalam Bab 20.
 λ = pengali untuk Bab 16; dengan tulisan bawah garis terdapat pengali peredaman dinamik pada Bab 20.
 μ = rasio Poisson =
$$\frac{\text{regangan tegaklurus terhadap tegangan yang diterapkan}}{\text{regangan pada arah tegangan yang diterapkan}}$$

 p = kerapatan massa pada tanah atau bahan lain; juga dipakai sebagai sudut perpecahan dari baji tanah yang tertahan oleh suatu dinding.
 σ_i = tekanan atau tegangan; i = arah seperti x , y atau z
 σ_o = tekanan normal efektif yang dihitung sebagai $(\sigma_1 + \sigma_2 + \sigma_3)/3$
 ϕ = sudut gesekan dalam
 ϕ' = sudut gesekan dalam yang efektif

BAB

11

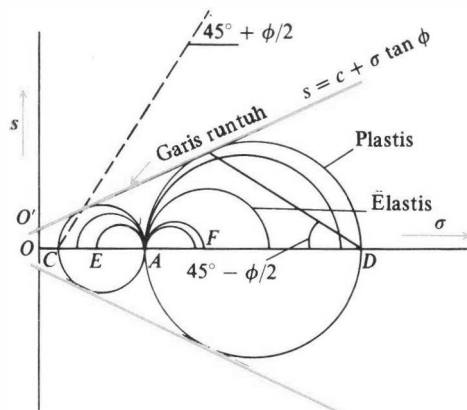
TEKANAN TANAH LATERAL

11-1 MASALAH TEKANAN TANAH LATERAL

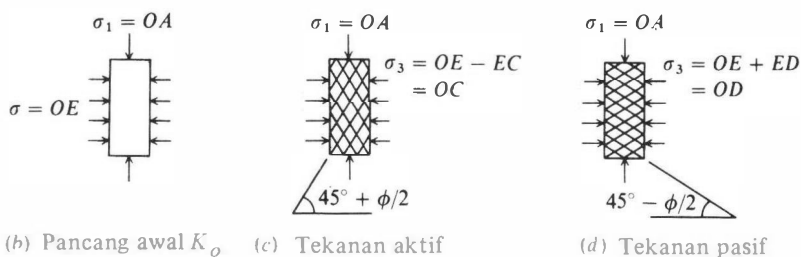
Tekanan tanah lateral adalah sebuah parameter perencanaan (design parameter) yang penting di dalam sejumlah persoalan teknik pondasi. Dinding penahan dan dinding papan turap (sheet-pile wall), galian yang diperkokoh dan juga yang tak diperkokoh (braced and unbraced excavations), tekanan searah (grain pressure) pada dinding silo dan tempat penyimpanan bijian (bin), tekanan tanah atau batuan pada dinding terowongan dan konstruksi-konstruksi lain yang ada di bawah tanah, semuanya ini memerlukan perkiraan tekanan lateral secara kuantitatif pada pekerjaan konstruksi, baik untuk analisa perencanaan maupun untuk analisa stabilitas.

Metode kesetimbangan plastis (plastic equilibrium) seperti yang dijelaskan dalam selubung keruntuhan Mohr (Mohr rupture envelope) pada Gambar 2-18 dan Gambar 11-1a adalah metode yang biasa digunakan untuk memperkirakan tekanan lateral pada tanah dan bahan-bahan lain seperti bijian, batu bara dan bijih tambang (ore). Pada keadaan tertentu digunakan metode elemen-hingga (finite element method—FEM) (dari kontinum elastis), tetapi metode ini mempunyai beberapa segi kekurangan tertentu (distinct disadvantages) untuk perencanaan yang biasa dilakukan. Tekanan pada sambungan pipa terowongan yang dilas (tunnel liner) dan pipa selubung (conduit) besar yang tertanam di bawah tanah lebih sesuai untuk FEM daripada analisa lainnya.

Tekanan tanah timbul selama pergeseran tanah (soil displacement) (atau selama peregangannya) tetapi sebelum tanah tersebut mengalami keruntuhan (on the verge of failure), seperti yang didefinisikan oleh selubung keruntuhan Mohr, maka tegangan-tegangan (stresses) tersebut tidak mempunyai harga tertentu (indeterminate). Tegangan-tegangan tersebut juga belum tentu terdapat pada bagian yang runtuh (rupture) karena sangat sukar untuk menghasilkan keadaan kesetimbangan plastis secara serempak di mana-mana di dalam massa tanah—hal ini biasanya merupakan peristiwa yang progresif. Walaupun demikian, hal ini pada prakteknya sudah biasa dianalisis sebagai suatu kejadian keadaan yang ideal, baik untuk mempermudah persoalannya maupun dari segi pembatasan parameter tanah yang diperlukan dengan tingkat reliabilitas yang tinggi.



(a) Lingkaran Mohr K_0 dan pada kesetimbangan plastis (atau runtuh).



GAMBAR 11-1 Ilustrasi konsep kesetimbangan elastis dan kesetimbangan plastis. Perhatikan bahwa di dalam c dan d garis-garis gelincir adalah sangat ideal.

Dengan mengacu kembali pada Gambar 11-1a, terdapat dua lingkaran yang dapat dibuat melalui titik A sebagai titik pusat dan yang menyinggung garis runtuh (rupture line). Kedua lingkaran ini menyatakan sebuah keadaan kesetimbangan plastis di dalam peregang-an bidang (plane strain). Salah satu dari lingkaran-lingkaran lain seperti EA atau AF akan menyatakan suatu keadaan tunak (steady state condition) (K_0) yang tergantung pada hasil perbandingan overkonsolidasi (overconsolidation ratio) (OCR) seperti yang didefinisikan dalam Bagian 2-4 (lihat juga Bagian 2-8).

11-2 TEKATAN TANAH AKTIF

Tekanan tanah aktif mengacu pada suatu kesetimbangan plastis yang digambarkan pada lingkaran runtuh (rupture circle) AC di dalam Gambar 11-1a. Keadaan setimbang ini di-dapatkan dari Gambar 11-1b dan c sebagai berikut. Pertama-tama gunakan tegangan OA dan tegangan OE sedemikian rupa sehingga diperoleh kondisi K_0 . Selanjutnya secara ber-angsur-angsur turunkan OE menjadi runtuh pada OC . Tegangan OA (maksimum) dan tegangan OC (minimum) dapat digunakan untuk menggambarkan sebuah lingkaran Mohr. Selisih antara OA dan OC sama dengan diameter lingkaran dan juga tegangan penyimpang (deviator stress) seperti yang akan didapat dari percobaan triaksial Ck_0 di dalam labora-torium Gambar 2-34, Kasus 2. Garis-garis gelincir tersebut akan mempunyai bentuk seperti yang diperlihatkan dalam gambar, karena bidang-bidang horisontal dan vertikal yang men-jelaskan elemen tanah di dalam Gambar 11-1b adalah bidang-bidang utama (principal

planes) bila keadaan K_0 telah dicapai. Hal yang terakhir ini didasarkan pada susunan bahan-bahan dan tak tergantung pada sifat bahan yang bersangkutan; akan tetapi, pengamatan pada bentuk dinding-dinding dalam pasir menunjukkan bahwa sudut ini akan terbentuk.

Tekanan utama minimum $OC = \sigma_3$ ini dinamakan tekanan tanah aktif dan dapat dihitung dengan menggunakan Persamaan (2.42); untuk mudahnya maka kita ulangi lagi di sini:

$$\sigma_3 = \sigma_1 \tan^2 \left(45 - \frac{\phi}{2} \right) - 2c \tan \left(45 - \frac{\phi}{2} \right) \quad (2-42)$$

Persamaan ini dikembangkan oleh Coulomb kira-kira pada tahun 1776 di dalam bentuk yang sangat berlainan. Tetapi kelihatannya Bell (1915)-lah yang pertama sekali memperkenalkan bentuk persamaan di atas. Persamaan ini sering ditulis di dalam literatur Eropa sebagai hubungan trigonometrik untuk fungsi tangen (tangen function) yang berikut:

$$\tan^2 \left(45 - \frac{\phi}{2} \right) = \frac{1 - \sin \phi}{1 + \sin \phi} \quad \tan \left(45 - \frac{\phi}{2} \right) = \frac{1 - \sin \phi}{\cos \phi}$$

Mari kita selidiki keterlibatan praktis dari Gambar 11-1 dengan memakai Gambar 11-2. Dalam Gambar 11-2 kita telah menyisipkan sebuah dinding dengan ketebalan nol ke dalam massa tanah tak berkoheesi yang terkondolidasi normal (kita dapat memakai setiap jenis tanah tetapi cara ini menyederhanakan pembahasan). Pada titik ini kita mempunyai keadaan tegang K_0 pada dinding dan tekanan lateral (tanah-ke-dinding atau dinding-ke-tanah) berdasarkan ketentuan K_0 adalah

$$\sigma_h = K_0 \sigma_1$$

dan berbentuk segitiga karena pada kedalaman z manapun maka tekanan vertikal $\sigma_1 = \gamma z$. Karena tanahnya terkonsolidasi normal maka K_0 dapat ditentukan oleh rasio tegangan kualitatif dari Gambar 11-1a sebagai

$$K_0 = \frac{OE}{OA}$$

Sekarang mari kita gali tanah pada sisi kiri dari dinding Gambar 11-2a sampai suatu kedalaman H dalam Gambar 11-1b dan c. Kalau dinding itu tidak bergeser pada titik B (dinamakan garis keruk), maka dinding itu mungkin:

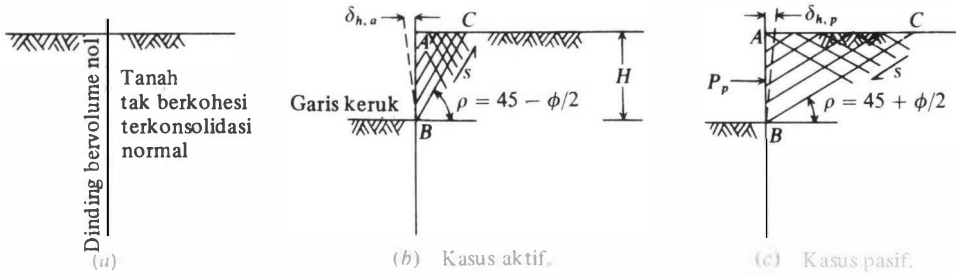
Berbelok ke samping (lateral) di bawah pembebanan balok konsol yang menyebabkan terbentuknya bidang-bidang garis galincir dalam tanah seperti pada Gambar 11-1c dan tekanan lateral $\sigma_h = \sigma_3$ pada rajahan lingkaran Mohr, sehingga bergerak dari E ke O . Kasus Gambar 11-1c berkembang karena tekanan K_0 yang dikenakan atas dinding tersebut berkurang pada waktu hal itu membelok menjauhi (tetapi diikuti) oleh tanah.

Kalau perpindahan tanah itu mencukupi, tekanan lateral itu mencapai keseimbangan plastis pada OC dan tekanan dindingnya adalah minimum (dinamakan "kasus tekanan aktif") sebesar

$$\sigma_h = \sigma_1 K_a$$

dari Persamaan (2-42). Kasus tekanan minimum ini dapat diterangkan dari pengamatan bahwa pasak gelincirnya adalah suatu volume minimum pada $45 + \phi/2$ dari horisontal (kemiringan garis dari C ke titik tangen dari Gambar 11-1a) dan ketahanan geser pada bidang geser menahan pasak itu menggelincir ke dalam dinding.

Suatu defleksi lateral yang terbatas memberikan tekanan dinding yang lebih besar —tetapi tak-menentukan—ditengah-tengah antara OC dan OE . Sebabnya ialah bahwa



GAMBAR 11-2. Pengidealan tekanan tanah aktif dan pasif dari suatu K_0 yang berkembang dengan menyisipkan dinding dengan ketebalan nol (volume) ke dalam suatu massa tanah seperti pada (a)

tanah memerlukan suatu regangan pembatas untuk mengerahkan tahanan geser maksimum pada bidang gelincir. Kasus tekanan aktif ini digambarkan sebagai kasus no. 2 dari Gambar 2-34.

2. Tidak membelok sama sekali kalau tidak cukup kaku dan dalam kasus ini tekanan lateralnya tetap berada pada

$$\sigma_h = \gamma z K_0$$

Karena suatu perpindahan lateral dari dinding menghasilkan suatu keadaan tekanan tanah aktif di mana tekanan dindingnya menurun sampai suatu minimum, kita dapat bertanya apa yang akan terjadi jika tidak ada dinding. Dalam kasus ini kita mempunyai $\sigma_3 = 0$ dan nyata bahwa jika tekanan tanah dikerahkan pada sembarang bidang gelincir (seperti BC dari Gambar 11-2b) tidak mencukupi untuk memenuhi statika dari pasak ABC akan tergelincir ke dalam galian. Hal ini dengan mudah dapat diamati dalam suatu galian kecil dalam pasir kering di mana sisi-sisinya membentuk lereng dengan suatu sudut terhadap horisontal.

Hal itu seharusnya juga jelas bahwa pada waktu suatu lubang dibuka maka tanah di sekelilingnya akan serentak berpindah secara menyamping (lateral) sepanjang bidang gelincir yang serupa ke dalam rongga. Pada waktu hal ini terjadi maka setiap gawai (alat) yang disisipkan ke dalam lubang tersebut mula-mula harus "mendorong" tanah yang terpindahkan ini kembali ke dalam tempat aslinya sebelum keadaan setempatnya dapat direproduksi. Ternyata bahwa mendorong tanah kembali ke dalam tempatnya semula adalah hampir tak-mungkin, dan selain itu kita mengadakan perubahan dalam struktur tanah. Hal ini membuat sangat sukar untuk mengukur K_0 dalam setiap lubang yang digali—termasuk lubang pemboran.

Karena dinding itu harus memutar/memindahkan ke arah samping menjauhi tanah yang tertinggal untuk menghasilkan kondisi tekanan tanah aktif (atau K_a), maka pertanyaan yang menarik perhatian ialah berapa banyak perputaran yang diperlukan? Secara sederhana hal ini diselidiki dan yang berikut dapat dipakai sebagai pedoman.

Tanah dan keadaan	Banyaknya pengalihan, $\delta_{h, a}$
Tak berkohesi, padat	0,001 sampai 0,002H
Tak berkohesi, longgar	0,002 sampai 0,004H
Kohesif, keras	0,01 sampai 0,02H
Kohesif, lunak	0,02 sampai 0,05H

Sebagaimana telah dicatat sebelumnya, kalau tidak terdapat perpindahan lateral yang cukup maka tekanan dinding tersebut tidaklah tertentu di antara K_0 dan K_a . Kebanyakan dinding itu dirancang untuk menahan tekanan tanah aktif karena setiap perputaran untuk keruntuhan biasanya cukup untuk membentuk kasus tekanan minimum (atau aktif). Pada tempat-tempat di mana geometri dinding itu sedemikian rupa sehingga tekanan aktif itu tak dapat dikembangkan, maka akan perlu untuk merancang dinding tersebut untuk tekanan menyamping (lateral) yang lebih tinggi. Suatu dinding lentur selamanya sangat mungkin untuk terdeformasi secukupnya untuk kasus tekanan aktif sebelum terjadi kerusakan; akan tetapi, suatu dinding yang sangat kaku mungkin akan tiba-tiba tergeser tanpa diberi kesempatan untuk berkembangnya tekanan tanah yang aktif.

11-3 TEKATAN TANAH PASIF

Keadaan tekanan tanah pasif diberikan oleh lingkaran Mohr yang lebih besar dari Gambar 11-1a. Keadaan ini dikembangkan dengan memperoleh kondisi-kondisi K_0 dari Gambar 11-1b dan memelihara agar OA konstan sementara kita menambah tekanan lateral dari OE sampai kepada kerusakan keseimbangan plastis pada OD (dan situasi kasus 4 dari Gambar 2-34). Bidang-bidang gelincir dalam tanah itu sekarang membentuk sudut sebesar $45-\phi/2$ dengan horisontal dan merupakan ϕ dari keadaan aktif. Orientasi sudut gelincir ini diperlihatkan oleh garis dari D sampai ke titik tangen dari lingkaran Mohr besar pada Gambar 11-1a.

Tegangan utama mayor (major) $OD = \sigma_1$ dapat dihitung secara analitis dari lingkaran Mohr sama halnya seperti tekanan aktif untuk mendapatkan Persamaan (2-41) dalam Bagian 2-11, yang diulangi lagi penulisannya di sini untuk memudahkan kita

$$\sigma_1 = \sigma_3 \tan^2 \left(45 + \frac{\phi}{2} \right) + 2c \tan \left(45 + \frac{\phi}{2} \right) \quad (2-41)$$

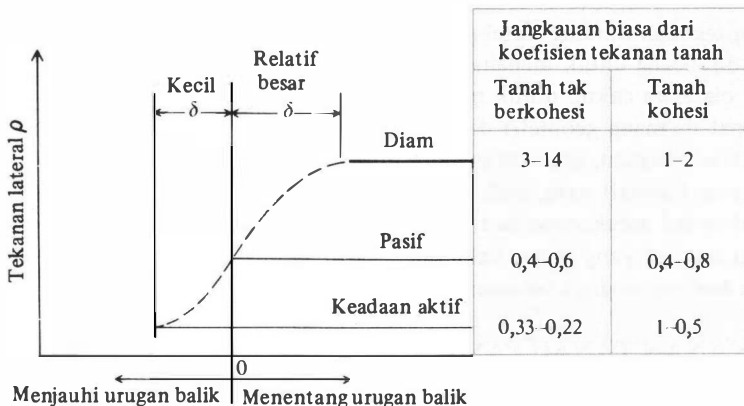
Tekanan tanah pasif dikembangkan dengan meningkatkan tekanan lateral dari OE sampai OD dalam Gambar 11-1b dan d hal ini sama dengan mendorong dinding dari Gambar ke dalam tanah. Tanah tersebut akan mengalami perubahan bentuk deformasi dan dengan perubahan bentuk yang cukup maka dikerahkanlah tahanan geser maksimum; akan tetapi perhatikan:

1. Volume baji tahanan adalah jauh lebih besar.
2. Tahanan geser yang dikerahkan s menentang dinding tersebut (di mana dalam kasus aktif hal itu membantu dinding).

Perubahan dalam pasak tahanan ABC merupakan sebab utama mengapa suatu dinding yang bergerak maju sampai ke kasus tekanan aktif minimum tak dapat didorong kembali kepada posisinya semula.

Gambar 11.3 menggambarkan pergerakan relatif dan urutan besarnya koefisien tekanan tanah lateral yang didapat dari perbandingan analitis dalam Persamaan (2-41) dan (2-42). Tekanan tanah pasif yang khas yang dibentuk oleh pelat anker atau balok-balok yang dibenamkan ke dalam tanah memakai sebuah batang atau kabel regang sehingga kabel tersebut menarik balok itu terhadap tanah. Kasus tekanan pasif lain adalah tanah di bawah garis keruk dari Gambar 11-2 yang harus menahan dinding agar tidak bergerak maju dari titik B menurun sehingga tekanan aktif dapat dibentuk dibelakang dinding dari pasak tanah yang ditentukan oleh garis BC .

Pembahasan ini dilakukan atas dasar teoretis. Sekarang kita harus mempunyai sesuatu untuk menerapkan asas-asas ini dengan cara yang umum untuk menilai berapa besar tekanan tanah itu untuk terapan-terapan tertentu. Dewasa ini terdapat dua prosedur umum



GAMBAR 11-3. Gambaran tekanan aktif dan pasif dengan jangkauan perubahan harga biasa untuk tanah tak berkohesi dan untuk tanah yang kohesif.

untuk massa tanah dan sebuah teori metode elastisitas untuk beban-beban atas massa tanah yang harus ditahan oleh dinding itu. Metode-metode ini akan ditinjau dalam beberapa bagian yang berikut.

11-4 TEORI TEKanan TANAH COULOMB

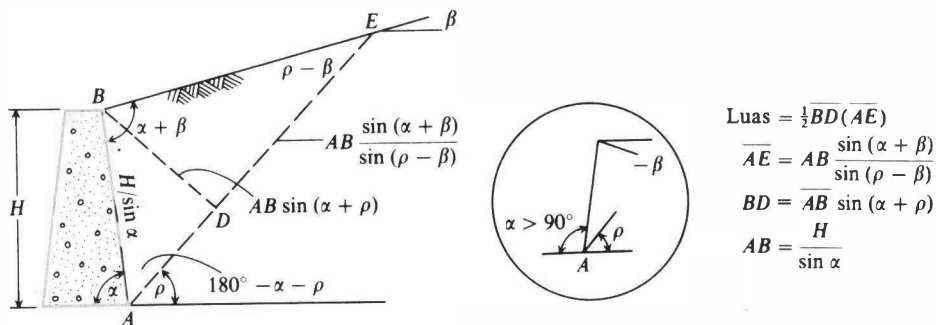
Anggapan-anggapan dasar di dalam teori tekanan tanah yang dikemukakan oleh C.A. Coulomb sekitar tahun 1776 (teori tekanan tanah Coulomb) adalah sebagai berikut:

1. Tanah adalah isotropik dan homogen yang mempunyai gesekan dalam dan kohesi.
2. Bidang runtuh adalah sebuah bidang rata (seperti BC pada Gambar 11-2b). Permukaan urugan balik (backfill surface) merupakan bidang datar.
3. Dengan nilai yang sama tahanan gesekan didistribusi sepanjang permukaan runtuh yang rata, dan koefisien gesekan tanah ke tanah $f = \tan \phi$.
4. Keping runtuh (failure wedge) adalah melalui translasi sebuah benda tegar.
5. Adanya gesekan dinding, yaitu, keping runtuh bergerak dalam kaitan terhadap bagian punggung dari dinding, maka berkembanglah suatu gaya gesek antara tanah dan dinding. Sudut gesekan ini biasanya dinamakan δ .
6. Keruntuhan adalah suatu persoalan peregang dinding; tinjaulah satu satuan panjang dari sebuah benda yang panjangnya tak berhingga.

Kekurangan utama dalam teori Coulomb ini ialah asumsinya bahwa, tanah ideal dan permukaan runtuh adalah bidang rata (meskipun untuk pasir bersih dalam kasus tekanan aktif, gambar-gambar dari dinding-dinding model menunjukkan bahwa daerah patahan itu hampir merupakan suatu bidang seperti BC pada Gambar 11-2b).

Persamaan-persamaan yang didasarkan pada teori Coulomb untuk tanah tak kohesi didapat dari Gambar 11-4 dan Gambar 11-5. Berat potongan tanah ABE adalah

$$W = \gamma A(1) = \frac{\gamma H^2}{2 \sin^2 \alpha} \left[\sin(\alpha + \rho) \frac{\sin(\alpha + \beta)}{\sin(\rho - \beta)} \right] \quad (a)$$



GAMBAR 11-4. Keping runtuh (failure wedge) yang digunakan dalam menurunkan persamaan Coulomb untuk tekanan aktif. Perhatikan bahwa β dapat mempunyai harga \pm dan $0 < \alpha < 180^\circ$.

Gaya aktif P_a adalah suatu komponen dari vektor berat seperti yang digambarkan dalam Gambar 11-5c. Dengan memakai rumus sinus, maka kita dapatkan

$$\frac{P_a}{\sin(\rho - \phi)} = \frac{W}{\sin(180 - \alpha - \rho + \phi + \delta)}$$

atau

$$P_a = \frac{W \sin(\rho - \phi)}{\sin(180 - \alpha - \rho + \phi + \delta)} \quad (b)$$

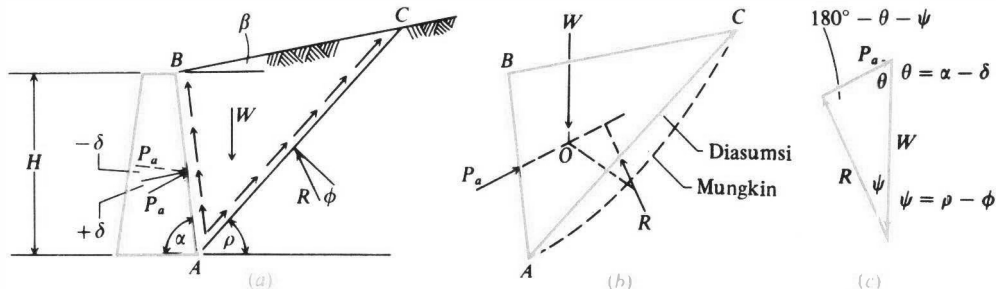
Dari Persamaan (b) dapat dilihat bahwa harga $P_a = f(\rho)$; artinya semua faktor lainnya yang diberikan untuk sebuah soal adalah konstan, sedangkan harga P_a yang paling diperlukan adalah harga yang terbesar. Dengan menggabungkan Persamaan (a) dan (b), kita dapatkan

$$P_a = \frac{\gamma H^2}{2 \sin^2 \alpha} \left[\sin(\alpha + \rho) \frac{\sin(\alpha + \beta)}{\sin(\rho - \beta)} \right] \frac{\sin(\rho - \phi)}{\sin(180 - \alpha - \rho + \phi + \delta)} \quad (c)$$

maka harga maksimum dari gaya dinding aktif P_a diperoleh sebesar $dP_a/d\rho = 0$ untuk menghasilkan

$$P_a = \frac{\gamma H^2}{2} \frac{\sin^2(\alpha + \phi)}{\sin^2 \alpha \sin(\alpha - \delta) \left[1 + \frac{\sin(\phi + \delta) \sin(\phi - \beta)}{\sin(\alpha - \delta) \sin(\alpha + \beta)} \right]^2} \quad (11-1)$$

GAMBAR 11-5 (a) Kondisi-kondisi keruntuhan yang diasumsikan; (b) menunjukkan bahwa gaya-gaya resultan tidak melalui titik O; sehingga kesetimbangan statis (static equilibrium) tidak dipenuhi; (c) segitiga gaya untuk menghasilkan P_a .



Jika $\beta = \delta = 0$ dan $\alpha = 90^\circ$ (untuk sebuah dinding vertikal licin yang mempunyai urugan balik horisontal) maka Persamaan (11-1) dapat disederhanakan menjadi

$$P_a = \frac{\gamma H^2}{2} \frac{(1 - \sin \phi)}{(1 + \sin \phi)} = \frac{\gamma H^2}{2} \tan^2 \left(45 - \frac{\phi}{2} \right) \quad (11-2)$$

yang juga merupakan persamaan Rankine untuk tekanan tanah aktif yang akan ditinjau dalam bagian berikutnya. Persamaan (11-2) mempunyai bentuk umum

$$P_a = \frac{\gamma H^2}{2} K_a$$

di mana

$$K_a = \frac{\sin^2 (\alpha + \phi)}{\sin^2 \alpha \sin (\alpha - \delta) \left[1 + \sqrt{\frac{\sin (\phi + \delta) \sin (\phi - \beta)}{\sin (\alpha - \delta) \sin (\alpha + \beta)}} \right]^2} \quad (11-3)$$

dan merupakan sebuah koefisien yang mengandung α , β , δ , dan ϕ , tapi tidak tergantung pada γ dan H . Tabel 11-1 memberikan harga-harga K_a untuk sudut-sudut tertentu, dan suatu program komputer dapat ditulis dengan mudah untuk menentukan harga-harga K_a untuk kombinasi-kombinasi sudut lain.

Tekanan tanah pasif diturunkan dengan cara yang serupa kecuali inklinasi pada dinding dan segitiga gayanya seperti terlihat dalam Gambar 11-6.

Dari Gambar 11-6 terlihat bahwa berat dari massa yang runtuh yang diasumsikan adalah

$$W = \frac{\gamma H^2}{2} \sin (\alpha + \rho) \frac{\sin (\alpha + \beta)}{\sin (\rho - \beta)} \quad (d)$$

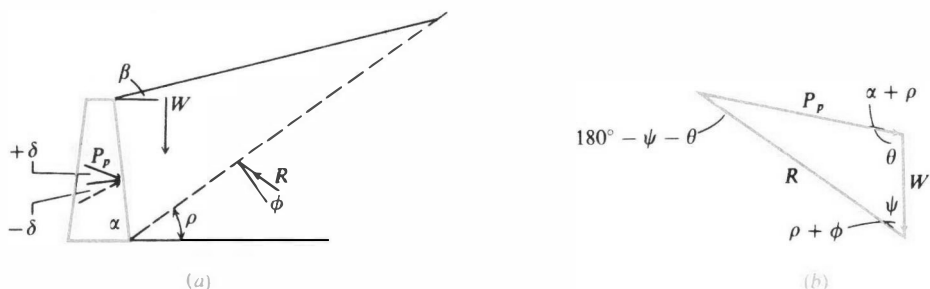
dan dengan menggunakan rumus sinus dari segitiga gaya diperoleh

$$P_p = W \frac{\sin (\rho + \phi)}{\sin (180 - \rho - \phi - \delta - \alpha)} \quad (e)$$

Dengan menetapkan turunan $dP_p/d\rho = 0$ maka diperoleh harga minimum dari P_p sebagai berikut:

$$P_p = \frac{\gamma H^2}{2} \frac{\sin^2 (\alpha - \phi)}{\sin^2 \alpha \sin (\alpha + \delta) \left[1 - \sqrt{\frac{\sin (\phi + \delta) \sin (\phi + \beta)}{\sin (\alpha + \delta) \sin (\alpha + \beta)}} \right]^2} \quad (11-4)$$

GAMBAR 11-6. (a) Keping runtuh dan gaya-gaya yang bekerja untuk tekanan pasif; (b) poligon gaya untuk perhitungan tekanan pasif.



Untuk sebuah dinding vertikal licin (smooth vertical wall) yang mempunyai urugan balik horisontal ($\delta = \beta = 0$ dan $\alpha = 90^\circ$), maka Persamaan (11-4) disederhanakan menjadi

$$P_p = \frac{\gamma H^2}{2} \frac{1 + \sin \phi}{1 - \sin \phi} = \frac{\gamma H^2}{2} \tan^2 \left(45 + \frac{\phi}{2} \right) \quad (11-5)$$

Persamaan (11-4) dapat juga ditulis

$$P_p = \frac{\gamma H^2}{2} K_p$$

di mana

$$K_p = \frac{\sin^2 (\alpha - \phi)}{\sin^2 \alpha \sin (\alpha + \delta) \left[1 - \sqrt{\frac{\sin (\phi + \delta) \sin (\phi + \beta)}{\sin (\alpha + \delta) \sin (\alpha + \beta)}} \right]^2} \quad (11-6)$$

Tabel 11-2 memberikan harga-harga K_p untuk sudut-sudut khusus ϕ , α , δ , dan β .

Gambar 11-1 memperlihatkan bahwa tekanan tanah tergantung pada tekanan efektif di dalam tanah dan bukan tergantung pada tekanan total. Ini berarti bahwa tekanan dinding di bawah permukaan air adalah jumlah tekanan hidrostatik dan tekanan tanah lateral dari berat satuan efektif γ' dari tanah.

Tabel 11-1 Koefisien-koefisien K_a tekanan tanah aktif berdasarkan persamaan Coulomb (11-3).

ALPHA = 90° BETA = -10°										
δ	$\phi = 26$	28	30	32	34	36	38	40	42	
0	0.354	0.328	0.304	0.281	0.259	0.239	0.220	0.201	0.184	
16	0.311	0.290	0.270	0.252	0.234	0.216	0.200	0.184	0.170	
17	0.309	0.289	0.269	0.251	0.233	0.216	0.200	0.184	0.169	
20	0.306	0.286	0.267	0.249	0.231	0.214	0.198	0.183	0.169	
22	0.304	0.285	0.266	0.248	0.230	0.214	0.198	0.183	0.168	

ALPHA = 90° BETA = -5°										
δ	$\phi = 26$	28	30	32	34	36	38	40	42	
0	0.371	0.343	0.318	0.293	0.270	0.249	0.228	0.209	0.191	
16	0.328	0.306	0.284	0.264	0.245	0.226	0.209	0.192	0.176	
17	0.327	0.305	0.283	0.263	0.244	0.226	0.208	0.192	0.176	
20	0.324	0.302	0.281	0.261	0.242	0.224	0.207	0.191	0.175	
22	0.322	0.301	0.280	0.260	0.242	0.224	0.207	0.191	0.175	

ALPHA = 90° BETA = 0°										
δ	$\phi = 26$	28	30	32	34	36	38	40	42	
0	0.390	0.361	0.333	0.307	0.283	0.260	0.238	0.217	0.198	
16	0.349	0.324	0.300	0.278	0.257	0.237	0.218	0.201	0.184	
17	0.348	0.323	0.299	0.277	0.256	0.237	0.218	0.200	0.183	
20	0.345	0.320	0.297	0.276	0.255	0.235	0.217	0.199	0.183	
22	0.343	0.319	0.296	0.275	0.254	0.235	0.217	0.199	0.183	

ALPHA = 90° BETA = 5°										
δ	$\phi = 26$	28	30	32	34	36	38	40	42	
0	0.414	0.382	0.352	0.323	0.297	0.272	0.249	0.227	0.206	
16	0.373	0.345	0.319	0.295	0.272	0.250	0.229	0.210	0.192	
17	0.372	0.344	0.318	0.294	0.271	0.249	0.229	0.210	0.192	
20	0.370	0.342	0.316	0.292	0.270	0.248	0.228	0.209	0.191	
22	0.369	0.341	0.316	0.292	0.269	0.248	0.228	0.209	0.191	

ALPHA = 90° BETA = 10°										
δ	$\phi = 26$	28	30	32	34	36	38	40	42	
0	0.443	0.407	0.374	0.343	0.314	0.286	0.261	0.238	0.216	
16	0.404	0.372	0.342	0.315	0.289	0.265	0.242	0.221	0.201	
17	0.404	0.371	0.342	0.314	0.288	0.264	0.242	0.221	0.201	
20	0.402	0.370	0.340	0.313	0.287	0.263	0.241	0.220	0.201	
22	0.401	0.369	0.340	0.312	0.287	0.263	0.241	0.220	0.201	

ALPHA = 90° BETA = 15°										
δ	$\phi = 26$	28	30	32	34	36	38	40	42	
0	0.482	0.440	0.402	0.367	0.334	0.304	0.276	0.251	0.227	
16	0.447	0.408	0.372	0.340	0.310	0.283	0.258	0.234	0.213	
17	0.447	0.407	0.372	0.339	0.310	0.282	0.257	0.234	0.212	
20	0.446	0.406	0.371	0.338	0.309	0.282	0.257	0.234	0.212	
22	0.446	0.406	0.371	0.338	0.309	0.282	0.257	0.234	0.212	